

การศึกษาอุปทัคชีพเพิ่มแบบกักกันความร้อนในคอนกรีตหลา

นายยศชัย จุประพัทธ์ศรี



วิทยานิพนธ์นี้ เป็นส่วนหนึ่งของการศึกษาตามหลักสูตรปริญญาวิศวกรรมศาสตรมหาบัณฑิต

ภาควิชาศึกษาโยธา

บัณฑิตวิทยาลัย จุฬาลงกรณ์มหาวิทยาลัย

พศ. 2532

ISBN 974-576-285-7

ลิขสิทธิ์ของบัณฑิตวิทยาลัย จุฬาลงกรณ์มหาวิทยาลัย

15656

๑๗๔๖๐๘๑๕

A Study on Adiabatic Temperature Rise in Mass Concrete

Mr.Yotchai Juprapattasri

A Thesis Submitted in Partial Fulfillment of the Requirements
for the Degree of Master of Engineering

Department of Civil Engineering

Graduated School

Chulalongkorn University

1989

ISBN 974-576-285-7

หัวข้อวิทยานิพนธ์ การศึกษาอุปกรณ์เพิ่มแบบกักกันความร้อนในคอนกรีตหลา
โดย นายยศชัย จูประพัทธศรี
ภาควิชา วิศวกรรมโยธา
อาจารย์ที่ปรึกษา ศาสตราจารย์ ดร. เอกลักษณ์ ลี้มสุวรรณ

บัณฑิตวิทยาลัย จุฬาลงกรณ์มหาวิทยาลัย อนุมัติให้นับวิทยานิพนธ์นี้ เป็นส่วนหนึ่งของ
การศึกษาตามหลักสูตรบริษัทฯ ตามที่มี

..... *.....* คณบดีบัณฑิตวิทยาลัย
(ศาสตราจารย์ ดร. ถาวร วัชราภัย)

คณะกรรมการสอบวิทยานิพนธ์

..... *.....* ประธานกรรมการ
(ศาสตราจารย์ วัฒนา ธรรมรงค์)

..... *.....* กรรมการ
(ศาสตราจารย์ ดร. วินิต ช่อวิเชียร)

..... *.....* กรรมการ
(ศาสตราจารย์ ดร. ทักษิณ เทพชาตรี)

..... *.....* กรรมการและอาจารย์ที่ปรึกษา
(ศาสตราจารย์ ดร. เอกลักษณ์ ลี้มสุวรรณ)



ขคที่ย จุปราชพิทยศรี : การศึกษาอุณหภูมิเพิ่มแบบกักกันความร้อนในคอนกรีตหลา (A STUDY OF ADIABATIC TEMPERATURE RISE IN MASS CONCRETE) อ.ที่ปรึกษา : ดร. เอกสิทธิ์ ลิ้มสุวรรณ, 133 หน้า.

ความร้อนที่เกิดในโครงสร้างคอนกรีตหลาก่อให้เกิดการขยายตัวและการหดตัวไม่เท่ากันทึบองค์-อาคารเป็นเหตุให้เกิดการแตกร้าวและล่งผลต่อกำลังของโครงสร้างโดยส่วนรวม การแก้ปัญหาดังกล่าวจะทำได้โดยทบทวนความร้อนที่เกิดขึ้นในคอนกรีตหลาทั้งหมดแล้วศึกษาถึงผลกระทบจากการกระจายและถ่ายเทความร้อนในองค์-อาคารนั้น ๆ งานวิจัยนี้ ได้ศึกษาการเกิดความร้อนในคอนกรีตตัวอย่างทดสอบบนหาดอุณหภูมิเพิ่มแบบกักกันความร้อนโดยกำหนดตัวแปรหลัก คือ ประเภทของชีเมนต์ ปริมาณชีเมนต์ในส่วนผสม อัตราส่วนน้ำต่อชีเมนต์ และอุณหภูมิเริ่มแรกของคอนกรีต แล้วนำผลการเกิดความร้อนมาศึกษาการกระจายและการถ่ายเทความร้อนในองค์-อาคารโดยการวิเคราะห์ตามวิธีการทางไฟฟ้าที่อเลเมนต์ที่ครอบคลุมถึงผลจาก การนำการพาและแผ่รังสีของความร้อนทึบพื้นและในเนื้อคอนกรีตพร้อมทั้งพิจารณาถึงการตัดชิ้นและส่งแต่ การระเหยของน้ำที่ผิวน้ำ การตั้งความร้อนออกตัวยท่อน้ำผ่าน และเงื่อนไขของเวลาตามขั้นตอนการก่อสร้าง

การทดลองหาอุณหภูมิแบบกักกันความร้อน ใช้ปริมาตรคอนกรีต 50 ลิตร และหุ้มด้วยฟิล์มโดยรอบแล้ววางไว้ในเตาอบที่ปรับอุณหภูมิร้อนขึ้นให้เท่ากับอุณหภูมิในเนื้อคอนกรีตได้โดยอัตโนมัติ เพื่อจำลองสภาวะสมมุติของคอนกรีตหลา ความร้อนที่เกิดขึ้นจะค่อย ๆ เพิ่มขึ้นตามเวลา โดยจะเกิดอุณหภูมิสูงสุดที่ประมาณ 42-65 ชั่วโมงหลังการผสมคอนกรีต และหลังจากนั้นจะไม่เพิ่มอีกต่อไป

จากการทดลองหาอุณหภูมิเพิ่มแบบกักกันความร้อนในคอนกรีตตามตัวแปรต่าง ๆ พบว่า อัตราส่วนของน้ำต่อชีเมนต์และอุณหภูมิเริ่มแรกของคอนกรีตมีผลต่อการเพิ่มความร้อนน้อยมาก แต่ปริมาณชีเมนต์ในส่วนผสมของคอนกรีตที่เพิ่มขึ้นอีกทุก 10 ก.ก./ลบ.ม. จะทำให้อุณหภูมิสูงสุดเพิ่มขึ้น 1 °ช. ชีเมนต์ประเภทที่ I, III และ V จะให้อุณหภูมิสูงสุด ในสัดส่วน 1.0, 1.1 และ 0.9 ตามลำดับ งานวิจัยนี้ได้สร้างสมการเพื่อกำหนดการเพิ่มอุณหภูมิแบบกักกันความร้อนที่เกิดขึ้นตามเวลา แล้วนำไปใช้ในการวิเคราะห์ทางไฟฟ้าที่อเลเมนต์เพื่อคำนวณหาความร้อนที่เกิดขึ้นในโครงสร้างหลังจากการเทคอนกรีตแล้วเสร็จ โดยจะเปรียบเทียบผลที่ได้กับงานวิจัยที่ผ่านมาทั้งการทดสอบและการวัดจริง เปรียบเทียบกับวิธีการคำนวณจากความร้อนของปฏิกิริยาไฮเดรชันในชีเมนต์ และเปรียบเทียบกับผลการวัดอุณหภูมิจากโครงสร้างคอนกรีตหลาที่ก่อสร้างแล้ว ผลจากการวิเคราะห์จากสมการอุณหภูมิเพิ่มแบบกักกันความร้อนจากงานวิจัยนี้ให้ค่าอุณหภูมิในโครงสร้างที่ต่ำกว่าค่าที่ได้จากการวัดจริงในตัวโครงสร้าง เนื่องจากที่เครื่องมือทดสอบที่ใช้ไม่อาจกักกันความร้อนที่ระเหยไปกับน้ำที่ใช้ผสมคอนกรีตได้ ด้วยวิธีการศึกษาเชิงตัวเลขพบว่า ควรใช้ตัวคูณประกอบ 1.7 ปรับค่าที่ได้จากการทดสอบตามวิธีในงานวิจัยนี้ ซึ่งจะให้ค่าพยากรณ์อุณหภูมิในโครงสร้างที่เชื่อถือได้ตามสภาพจริง

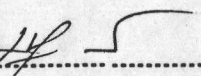
YOTCHAI JUPRAPATTASRI : A STUDY ON ADIABATIC TEMPERATURE RISE IN MASS CONCRETE. THESIS ADVISOR : PROF.EKASIT LIMSUWAN, Ph.D., 133 PP.

Heat generation in mass concrete causes unbalanced stresses due to expansion and contraction in structures so that cracks would be induced and lead to structural damages. To solve such problem, heat generation and dissipation in mass concrete should be studied. For heat generation, adiabatic temperature rising tests were conducted on the basis of several variables such as cement type, cement content, water cement ratio and concrete placing temperature. For heat dissipation, the Finite Element Method was employed to analyze heat in concrete structures effected from heat conduction, convection and radiation, on surface and in the mass, considering solar absorption, surface evaporation, pipe cooling system and time constraint from construction sequence.

The adiabatic temperature rising tests in this program used concrete 50 litre for each specimen ,they were cast and covered with poly-styrene foam, then kept in the oven so that surrounding temperature could be automatically adjusted to the one in the specimen. Such method was applied to simulate mass concrete condition so that heat generation has varied with time and rate of hydration . The maximum temperature would be reached within 42-65 hr. after mix.

The results of adiabatic temperature rising test have shown less influence from water to cement ratio and placing temperature but the adiabatic temperture rise was much affected from cement content and cement type .The temperature rise have found to be 1°C increase for every 10 Kg./m.^3 increase in cement content. The maximum temperature rises for cement type I, III and V were found to be at ratio of 1.0, 1.1 and 0.9, respectively. Heat generating equations were fitted to analyze temperature in mass concrete structures. The results were compared to the calculation from heat of hydration and to the measurement from actual structures. The results indicated that the adiabatic temperature rise as heat generating equation in this study produced less temperature than the measurement and by means of numerical solution, the factor of 1.7 should be applied to the adiabatic test results to obtain reliable temperatures in the mass concrete structure.

ภาควิชา วิศวกรรมโยธา
สาขาวิชา วิศวกรรมโยธา
ปีการศึกษา 2531.....

ลายมือชื่อนักศึกษา EKASIT LIMSUWAN
ลายมือชื่ออาจารย์ที่ปรึกษา 

กิตติกรรมประกาศ

ข้าพเจ้าขอขอบพระคุณ ท่าน ศาสตราจารย์ วัฒนา ธรรมมงคล ศาสตราจารย์ ดร. วินิต ช่อวิเชียร ศาสตราจารย์ ดร. ทักษิณ เทพชาตรี ที่กรุณาให้คำแนะนำและตรวจแก้ไขข้อบกพร่องจึงทำให้วิทยานิพนธ์ฉบับนี้สมบูรณ์ขึ้น และขอขอบพระคุณคณาจารย์คณบดีวิศวกรรมศาสตร์ที่ได้ให้วิชาการด้านต่าง ๆ พร้อมทั้งเครื่องมือ กำลังคน และห้องปฏิบัติการในการทดลองแก้ไขข้าพเจ้า

ท่าน ศาสตราจารย์ ดร. เอกลักษณ์ ล้มสุวรรณ ผู้ซึ่งเลี้ยง俸เวลาและกำลังสติดปัญญาให้คำปรึกษาและชี้แนะแนวทางแก้ไขข้าพเจ้าเป็นอย่างมาก ซึ่งข้าพเจ้ารู้สึกซาบซึ้งในพระคุณของท่านเป็นอย่างยิ่ง ข้าพเจ้าจึงใจรับขอรับขอบพระคุณท่านเป็นอย่างสูงไว้ ณ โอกาสนี้

ในการทำวิทยานิพนธ์ครั้งนี้ ข้าพเจ้าประทับใจและซาบซึ้งกับน้ำใจของเพื่อน ๆ พร้อมทั้งผู้ให้ความช่วยเหลือหลายคนจนไม่สามารถจะกล่าวออกมาเป็นคำพูดได้อย่างไร ที่เสีย俸เวลา กำลังกายและเวลาโดยไม่คำนึงถึงความเหนื่อยไม่ว่าจะเป็นกลางคืนหรือกลางวัน โดยเฉพาะอย่างยิ่งคุณสถาพร นิรันดร์ภาส คุณวิศิษฐ์ เพชรภูวดล และคุณพรเทพ ขอ hereby เกี่ยรติ ที่ช่วยเหลือในด้านการผสมผสานกริ๊ดและจดบันทึกข้อมูลในตอนกลางคืนและกลางวัน และยังมีผู้ที่ให้ความช่วยเหลือในด้านต่างอีกมากมายซึ่งไม่สามารถจะกล่าวไว้ในที่นี้ได้ ข้าพเจ้าจึงขอขอบคุณท่านเป็นอย่างยิ่ง

ท้ายนี้ บุคคลที่สนับสนุนในด้านการเงินและกำลังใจแก้ไขข้าพเจ้ามาเสมอจนกระทั่งบัดนี้คือ คนทุกคนในครอบครัวของข้าพเจ้า โดยเฉพาะอย่างยิ่ง บิดา มารดา ซึ่งพระคุณของท่านจะฝังอยู่ในจิตใจจนกว่าชีวิตของข้าพเจ้าจะหายไป

ยศชัย จุประพัทธ์ศรี

สารบัญ

	หน้า
บทคัดย่อภาษาไทย	๑
บทคัดย่อภาษาอังกฤษ	๒
กิจกรรมประจำ	๓
สารบัญตาราง	๔
สารบัญภาพ	๕
บทที่	
1. บททั่วไป	1
1.1 บทนำ	1
1.2 งานวิจัยที่ผ่านมา	2
1.2.1 ความร้อนในคอนกรีต	2
1.2.1.1 การเกิดความร้อน	2
1.2.1.2 การถ่ายเทความร้อน	10
1.2.2 การหาปริมาณความร้อนในคอนกรีต	14
1.2.2.1 การหาปริมาณความร้อนที่เกิดขึ้นในคอนกรีต	16
1.2.2.2 การหาอุณหภูมิในคอนกรีตหลา	17
1.2.3 มาตรการควบคุมความร้อน	18
1.3 วัสดุประสงค์	21
1.4 การศึกษาวิจัย	21
1.5 ขอบข่ายของงานวิจัย	22
2. ผลการทดสอบ	23
2.1 รายการทดสอบ	23
2.2 เครื่องมือทดสอบ	25
2.3 ขั้นตอนการทดสอบ	25
2.3.1 การเตรียมตัวอย่าง	25
2.3.1.1 วัสดุ	25

บทที่		หน้า
	2.3.1.2 ส่วนผสมคอนกรีต	29
	2.3.1.3 การผสมคอนกรีต	29
	2.3.2 การวัดอุณหภูมิและการรักษาสภาพกักกันความร้อน	33
	2.3.2.1 อุณหภูมิเริ่มแรก	33
	2.3.2.2 อุณหภูมิแบบกักกันความร้อน	33
	2.3.2.3 การปรับอุณหภูมิ	33
	2.3.3 การทดสอบประจำอื่น ๆ	33
2.4	ผลการทดสอบ	34
3.	การวิเคราะห์	38
3.1	บทนำ	38
3.2	ลักษณะสมการอุณหภูมิ เพิ่มแบบกักกันความร้อนในคอนกรีต	38
	3.2.1 ลักษณะสมการ	38
	3.2.2 การหาค่าคงที่ในสมการและการเลือกสมการ	38
3.3	ผลงานส่วนผสมในคอนกรีตมีต่อสมการอุณหภูมิ เพิ่มแบบกักกันความร้อน	39
	3.3.1 ความสัมพันธ์ของตัวแปรในแต่ละชุดการทดสอบ	39
	3.3.2 สมการอุณหภูมิ เพิ่มแบบกักกันความร้อน	47
3.4	เปรียบเทียบผลการทดสอบกับวิธีอื่น	48
	3.4.1 เปรียบเทียบกับผลงานวิจัยที่ผ่านมา	48
	3.4.2 เปรียบเทียบกับวิธีการค่านาฬิกา	48
	3.4.3 เปรียบเทียบกับวิธีวัดค่าจากโครงสร้างจริง	49
	3.4.3.1 ข้อมูลทั่วไปสำหรับโครงสร้างที่นำมา เปรียบเทียบ	49
	3.4.3.2 ผลการวิเคราะห์อุณหภูมิและผลการเปรียบเทียบ ระหว่างวิธีทดลองกับวิธีวัดอุณหภูมิจากโครงสร้างจริง	51
	3.4.3.3 การปรับแก้สมการอุณหภูมิ เพิ่มแบบกักกันความร้อน และการเลือกคุณสมบัติทางความร้อนของคอนกรีต	56
4.	สรุป	74

บทที่		หน้า
4.1 อุณหภูมิ เพิ่มแบบกักกันความร้อนในคอนกรีต		74
4.1.1 <u>สมการอุณหภูมิ เพิ่มแบบกักกันความร้อน</u>		74
4.1.2 อิทธิพลของส่วนผสมของคอนกรีต		74
4.2 อุณหภูมิ เพิ่มในโครงสร้างคอนกรีตหลา		75
4.3 <u>ข้อเสนอแนะ</u>		76
 เอกสารอ้างอิง		 77
ภาคผนวก ก.		80
ภาคผนวก ข.		91
ประวัติผู้เขียน		133

คุณสมบัติทางกายภาพ
กุหลาบขาวเมืองมหาวิทยาลัย

สารบัญตาราง

ตารางที่	หน้า
1.1 สาเหตุที่มีผลกระทบต่ออัตราและปริมาณอุณหภูมิ เพิ่มในค่อนกรีฑา	3
1.2 คุณสมบัติทางความร้อนของ เขื่อน และมวลรวมชนิดต่าง ๆ	13
1.3 คุณสมบัติทางความร้อนของ เขื่อนค่อนกรีฑ	15
2.1 สรุปชนิดและปริมาณส่วนผสมต่าง ๆ ที่ใช้ในค่อนกรีฑแต่ละชั้นงานทดสอบ	24
2.2 ขนาดคละของหินในส่วนผสมของค่อนกรีฑ	30
2.3 ขนาดคละของรายในส่วนผสมของค่อนกรีฑ	30
2.4 สรุปชนิดและปริมาณส่วนผสมต่าง ๆ ที่ใช้ในค่อนกรีฑแต่ละชั้นงานทดสอบ เป็นน้ำหนัก	32
3.1 ค่าคงที่จากการสั่นการทดสอบชุด ก. (ประเททของซี เมนต์)	40
3.2 ค่าคงที่จากการสั่นการทดสอบชุด บ. (ปริมาณซี เมนต์ในค่อนกรีฑ)	41
3.3 ค่าคงที่จากการสั่นการทดสอบชุด ค. (อัตราส่วนน้ำต่อซี เมนต์ใน ค่อนกรีฑ)	42
3.4 ค่าคงที่จากการสั่นการทดสอบชุด ง. (อุณหภูมิเริ่มแรกของค่อนกรีฑ)	43
3.5 เปรียบเทียบกับผลงานวิจัยที่ผ่านมา	50
3.6 เปรียบเทียบกับวิธีการคำนวณ	50
3.7 อุณหภูมิที่วิเคราะห์ได้ตาม เวลาของทดลองผึ่งกรุงเทพมหานคร ส่าหรับคุณสมบัติทางความร้อนชุด ก.	58
3.8 อุณหภูมิที่วิเคราะห์ได้ตาม เวลาของทดลองผึ่งกรุงเทพมหานคร ส่าหรับคุณสมบัติทางความร้อนชุด บ.	60
3.9 อุณหภูมิที่วิเคราะห์ได้ตาม เวลาของทดลองผึ่งชนบุรี ส่าหรับคุณสมบัติทางความร้อน ชุด ค.	62
3.10 อุณหภูมิที่วิเคราะห์ได้ตาม เวลาของทดลองผึ่งชนบุรี ส่าหรับคุณสมบัติทางความร้อน ชุด ง.	64
3.11 เปรียบเทียบกับวิธีวัดจากโครงสร้างจริง	65

ตารางที่	หน้า
3.12 อุณหภูมิที่วิเคราะห์ตามเวลาของคอมม่อฟ์ฟิ่งกรุง เทพมหานคร สำหรับคุณสมบัติทางความร้อนชุด ก. หลังจากปรับแก้สมการแล้ว	66
3.13 อุณหภูมิที่วิเคราะห์ตามเวลาของคอมม่อฟ์ฟิ่งกรุง เทพมหานคร สำหรับคุณสมบัติทางความร้อนชุด ข. หลังจากปรับแก้สมการแล้ว	68
3.14 อุณหภูมิที่วิเคราะห์เวลาของคอมม่อฟ์ฟิ่งอบบูรี สำหรับคุณสมบัติทางความร้อนชุด ก. หลังจากปรับแก้สมการแล้ว	70
3.15 อุณหภูมิที่วิเคราะห์เวลาของคอมม่อฟ์ฟิ่งอบบูรี สำหรับคุณสมบัติทางความร้อนชุด ข. หลังจากปรับแก้สมการแล้ว	72
พ1. อุณหภูมิเพิ่มของทดสอบ ชุด ก. (ประเทบทองซี เมนต์), ชุด ค. (อัตราส่วนน้ำต่อซี เมนต์) ชุด ง. (อุณหภูมิเริ่มแรกของคอนกรีต)	86
พ2. อุณหภูมิเพิ่มของทดสอบ ชุด ข. (ปริมาณซี เมนต์ในคอนกรีต)	88
พ3. ผลการทดสอบประจำอื่น ๆ	90

ศูนย์วิทยาศาสตร์เพย়াকে
জুহাতে কর্মসূলী পাই যাই

สารบัญภาพ

รูปที่

1.1 การเปรียบเทียบผลของชนิดชี เมนต์ต่อการเพิ่มอุณหภูมิแบบกักกันความร้อน	หน้า 5
1.2 การเพิ่มอุณหภูมิในองค์ความคิดเห็นของค่าความคงทนของชี เมนต์ชนิดต่าง ๆ	6
1.3 การเพิ่มอุณหภูมิในองค์ความคิดเห็นของค่าความคงทนของชี เมนต์ชนิดต่าง ๆ	7
1.4 การเพิ่มอุณหภูมิในองค์ความคิดเห็นของค่าความคงทนของชี เมนต์ชนิดต่าง ๆ	7
1.5 การเพิ่มอุณหภูมิในองค์ความคิดเห็นของค่าความคงทนของชี เมนต์ชนิดต่าง ๆ	7
1.6 ผลกระทบของอัตราการเกิดความร้อนจากความลະ เอี้ยดของชี เมนต์พัง	8
1.7 ผลกระทบของการเพิ่มอุณหภูมิแบบกักกันความร้อนจากอุณหภูมิเริ่มแรกของค่อนกริต	11
1.8 ผลกระทบของอุณหภูมิเริ่มแรกต่อความร้อนจากปฏิริยาไซเดรชัน	11
1.9 ผลของอุณหภูมิเริ่มแรกต่อการเพิ่มอุณหภูมิขององค์ความคิดเห็น	12
2.1 เครื่องมือทดสอบการเพิ่มอุณหภูมิแบบกักกันความร้อนในค่อนกริต	12
2.2 ร้อยละส่วนของหินที่ค้างบนตะแกรงที่ใช้ในการทดลอง	26
2.3 ร้อยละส่วนของรายที่ค้างบนตะแกรงที่ใช้ในการทดลอง	31
2.4 กราฟการเพิ่มอุณหภูมิของทดสอบชุด ก. (ประเทกของชี เมนต์)	31
2.5 กราฟการเพิ่มอุณหภูมิของทดสอบชุด ข. (ปริมาณชี เมนต์ในค่อนกริต)	35
2.6 กราฟการเพิ่มอุณหภูมิของทดสอบชุด ค. (อัตราส่วนน้ำต่อชี เมนต์)	35
2.7 กราฟการเพิ่มอุณหภูมิของทดสอบชุด ง. (อุณหภูมิเริ่มแรกของค่อนกริต)	37
3.1 ก. ค่าคงที่ K ของตัวแปรชุด ข. (ปริมาณชี เมนต์ในค่อนกริต)	44
3.1 ข. ค่าคงที่ a ของตัวแปรชุด ข. (ปริมาณชี เมนต์ในค่อนกริต)	44
3.2 ก. ค่าคงที่ K ของตัวแปรชุด ค. (อัตราส่วนน้ำต่อชี เมนต์ในค่อนกริต)	44
3.2 ข. ค่าคงที่ a ของตัวแปรชุด ค. (อัตราส่วนน้ำต่อชี เมนต์ในค่อนกริต)	45
3.3 ก. ค่าคงที่ K ของตัวแปรชุด ง. (อุณหภูมิเริ่มแรกของค่อนกริต)	45
3.3 ข. ค่าคงที่ a ของตัวแปรชุด ง. (อุณหภูมิเริ่มแรกของค่อนกริต)	46
3.4 รูปตัดของคอมพิวเตอร์กรุงเทพมหานคร	46
	52

รูปที่	หน้า
3.5 รูปตัดของคอมม่อฟ์ฟิ่งธนบุรี	53
3.6 การแบ่งส่วนย่อยของคอมม่อฟ์ฟิ่งกรุงเทพมหานคร	54
3.7 การแบ่งส่วนย่อยของคอมม่อฟ์ฟิ่งธนบุรี	55
3.8 อุณหภูมิที่วิเคราะห์ได้ตามเวลาของคอมม่อฟ์ฟิ่งกรุงเทพมหานคร สำหรับคุณสมบัติทางความร้อนชุด ก.	59
3.9 อุณหภูมิที่วิเคราะห์ได้ตามเวลาของเวลาของคอมม่อฟ์ฟิ่งกรุงเทพมหานคร สำหรับคุณสมบัติทางความร้อนชุด ข.	61
3.10 อุณหภูมิที่วิเคราะห์ได้ตามเวลาของคอมม่อฟ์ฟิ่งธนบุรี สำหรับคุณสมบัติทางความร้อนชุด ก.	63
3.11 อุณหภูมิที่วิเคราะห์ได้ตามเวลาของเวลาของคอมม่อฟ์ฟิ่งธนบุรี สำหรับคุณสมบัติทางความร้อนชุด ข.	65
3.12 อุณหภูมิที่วิเคราะห์ได้ตามเวลาของเวลาของคอมม่อฟ์ฟิ่งกรุงเทพมหานคร สำหรับคุณสมบัติทางความร้อนชุด ก. หลังจากปรับแก้สมการแล้ว	67
3.13 อุณหภูมิที่วิเคราะห์ได้ตามเวลาของเวลาของคอมม่อฟ์ฟิ่งกรุงเทพมหานคร สำหรับคุณสมบัติทางความร้อนชุด ข. หลังจากปรับแก้สมการแล้ว	69
3.14 อุณหภูมิที่วิเคราะห์ได้ตามเวลาของเวลาของคอมม่อฟ์ฟิ่งธนบุรี สำหรับคุณสมบัติทางความร้อนชุด ก. หลังจากปรับแก้สมการแล้ว	71
3.15 อุณหภูมิที่วิเคราะห์ได้ตามเวลาของเวลาของคอมม่อฟ์ฟิ่งธนบุรี สำหรับคุณสมบัติทางความร้อนชุด ข. หลังจากปรับแก้สมการแล้ว	73
พ1. อุณหภูมิแปรผันตามความลึกของมวลกึ่งอนันต์	81
พ2. ความร้อนที่ถ่ายเทอกจากมวลคงกรีด	82
พ3. อุณหภูมิ เคลื่อนของคงกรีด	83
พ4. อุณหภูมิ เคลื่อนของคงกรีดจากจุดปล่อยน้ำ เน้าถึงระยะความยาวท่อไอ ฯ	84
พ5. คุณภาพเพิ่มของน้ำในท่อระบายน้ำความร้อน	85
พ6. ตัวประกอบรูปแปรผัน เป็น เส้นตรงของส่วนย่อยรูปสามเหลี่ยม	98
พ7. ตัวประกอบรูปแปรผัน เป็น เส้นตรงของส่วนย่อย 1 มิติ	98

รูปที่	หน้า
พ8. ส่วนย่อยรูปสี่เหลี่ยมประกอบด้วยรูปสามเหลี่ยม 4 รูป	98
พ9. การ generation ข้อมูลพิกัด	103
พ10. การ generation ข้อมูลส่วนย่อย	103
พ11. การ generation ข้อมูลจุดขอบเขต	103

คุณร์วิทยากร&พยากรณ์
กุหลงการณ์ฯ หัววิทยาลัย